

分離橋脚の洗掘

神戸大学工学部 正員 篠原亮
大阪大学大学院 学生員。喜田 浩
神戸大学大学院 学生員 前田 強

まえがき

流水中の橋脚周辺に見られる局所洗掘については、構造物側面にかけ流速の増加に伴なう掃流力の増加により生じる洗掘の他に橋脚前面で生じる馬蹄形渦と呼ばれる渦により生じる深掘れがみられる。

今日までに、実測並びに実験から、洗掘の機構に関する研究や、実用的には、洗掘深と、代表的水理量間の関係を算定し得るような幾多の算定式が提案されてきているが、本実験においては、橋脚を分離することによって、橋脚前面の深掘れの主要な原因となる、いわゆる馬蹄形渦の影響を小さく得るかどうかを、その洗掘深と、水理量間の関係、並びに洗掘状況等から調べることを目的としている。

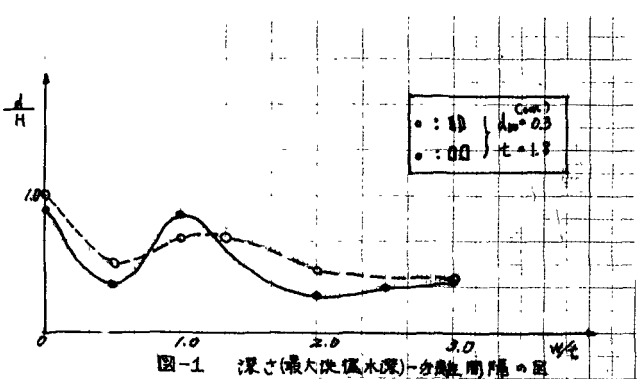
実験装置並びに測定方法

実験用水路に、巾30cm、長さ11m20cmの矩形断面水路を使用し、河床として、 $d_{50}=0.1$ cm, 0.3cm、橋脚として、投影巾 $t=0.5$ cm, 1.8cmのものを用い、2種のPier先端形状・ナイフ形、半円形を持たせた。洗掘深の測定は、ボイントゲージによる。測定の際に洗掘形状が変化しないよう、十分考慮した。

実験結果及び検討

洗掘状況については、一般的な傾向として、橋脚側面に於ける砂粒から掃流されはじめ、それが橋脚前面に至ると認められる。又、最大洗掘深が見受けられる場所は、ピア先端がナイフ形の場合、 $d_{50}=0.1$ cm, $d_{50}=0.3$ cmのいずれかの場合、側面のコーナーの底直下に最大洗掘深が見られる場合が多い。又、半円形のものについては、データ数が少ないので明確には言えなかが、やはり同様の傾向を持つものと思われる。

分離橋脚の間隔と最大洗掘深との関係は、図1から明らかのように、 $F_r \approx 1$, $d_{50}=0.3$ cm, $t=1.8$ cmの場合、 $W/t = 0.5$ の付近に極小値をもつ。これは、ピア先端部の形が、ナイフ形 半円形の両方とも、同様の傾向を示している。又、粒径 $d_{50}=0.1$ で流速が小さくなると、図1のように明確なカーブは出ないが、極小値が、 $W/t=1.5$ に移動している。このことは、ピアの形状よりもむしろ、粒径、ピアの投影巾 t 、流速リビッドによるものと思われる。



本実験のデータと従来のものを比較したのが図-2であるが、図中破線は、このまわりに従来のデータがバラついていることを示す。これから、点全体が、 d/H 軸下方(F_r 軸右方)に集まっている。又、一定間隔の分離中では、速度の増加に伴り洗掘深が増加する。これは図-3からも見受けられるが、次に分離中による傾向であるが、図-2では、 w/t の値が小さほど、傾きが大きくなる。しかし、順次大きくなるとは限らない。図-3では、図-2程度に明確な傾向は現われないが、 w/t の値にかかわらず、傾きはよく似ている。いずれの図においても、 $w/t=0$ を結ぶ直線が左端に現われておる。以下 $w/t=0.5, 1.0 \dots$ と図3につれて、図-2では時計方向、図-3では右方へ順次現われてくるものと思われる。今後のデータに期待しようと思う。

次に、図-1であるが、これは洗掘深を橋脚の中、即ち分離間隔も含めた中で基準化してあるが、 F_r まで、洗掘深さと水深とは、直線関係なると言え。

図-1、図-2の傾向からみて、経済的、強度的な高での問題が処理できれば、流木等の影響を考慮して、河川下流域における橋脚については、分離した方が、洗掘に対し、効果があるものと思われる。

参考文献

- 1) Shan 他, Local Scour Around Bridge Piers.

使用した記号

- d : 最大洗掘深さ. $F_r = \frac{d}{\sqrt{gH}}$
- w : 橋脚分離間隔. $N_p = D/\sqrt{(\beta-1)gd_{so}}$
- t : 橋脚の片方の半径. α : 平均流速
- $D = w + 2t$
- δ : 土粒子密度.

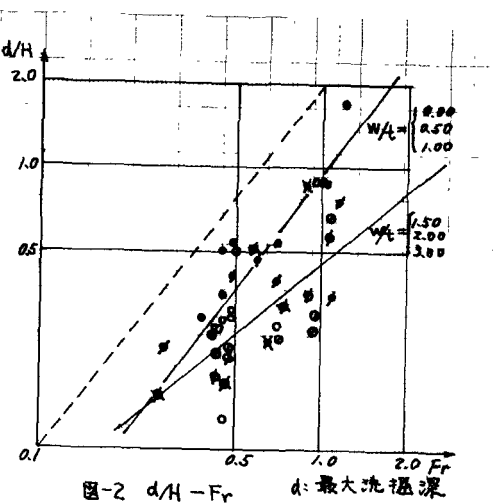


図-2 $d/H - F_r$ d :最大洗掘深

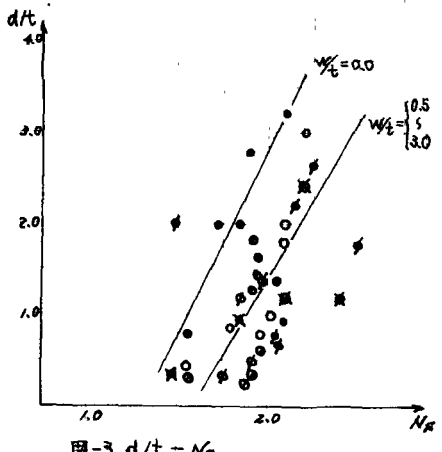


図-3 $d/t - N_p$

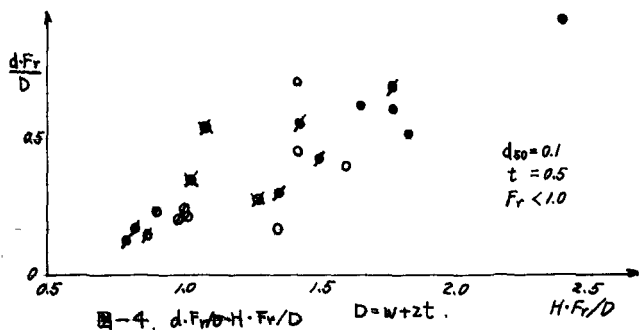


図-4. $dFr/D - H \cdot Fr/D$ $D = w + 2t$.